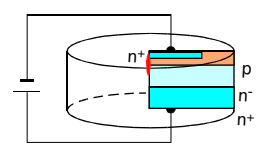
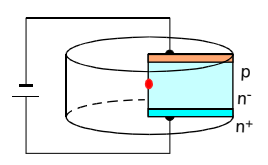
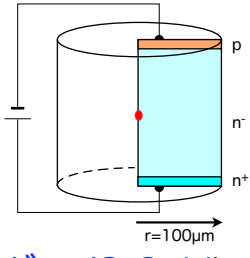
## 宇宙線誘起破壊 (Cosmic Ray Induced Failure)



300V~1000V: (α粒子, 中性子)pinダイオードの破壊は<u>未報告</u>.



n-不純物の低濃度化で明瞭な効果.



停止した中性子が甚大なキャリア(入射エネルギー/3.6eV)を局所に発生させる.

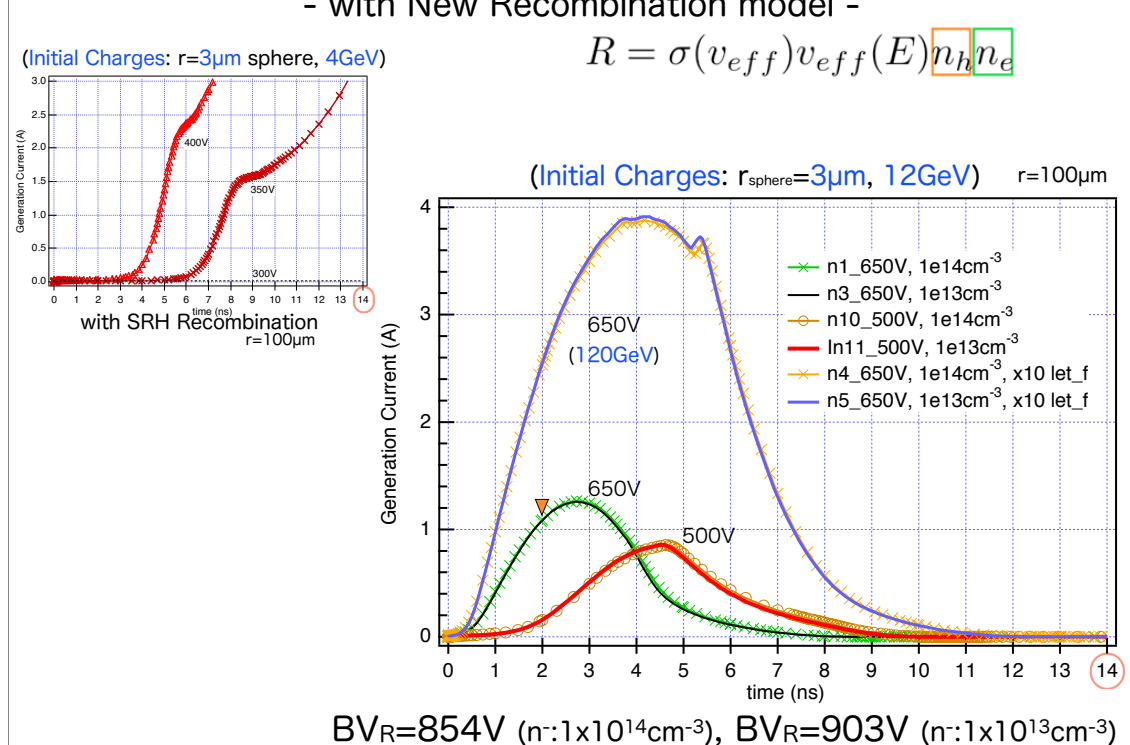
16年7月25日月曜日

(講義資料 2016 #13-p.1):高田

300V以下のデバイスは、飛行機,人工衛星で問題になるので、精緻な研究が行われていた。中性子の影響は、1990年の始めに数千Vのパワーデバイスで発見され、後にICでも確認された。高耐圧になるほどベース(i)領域が長くなるので、トランジスタ動作が起き難い。

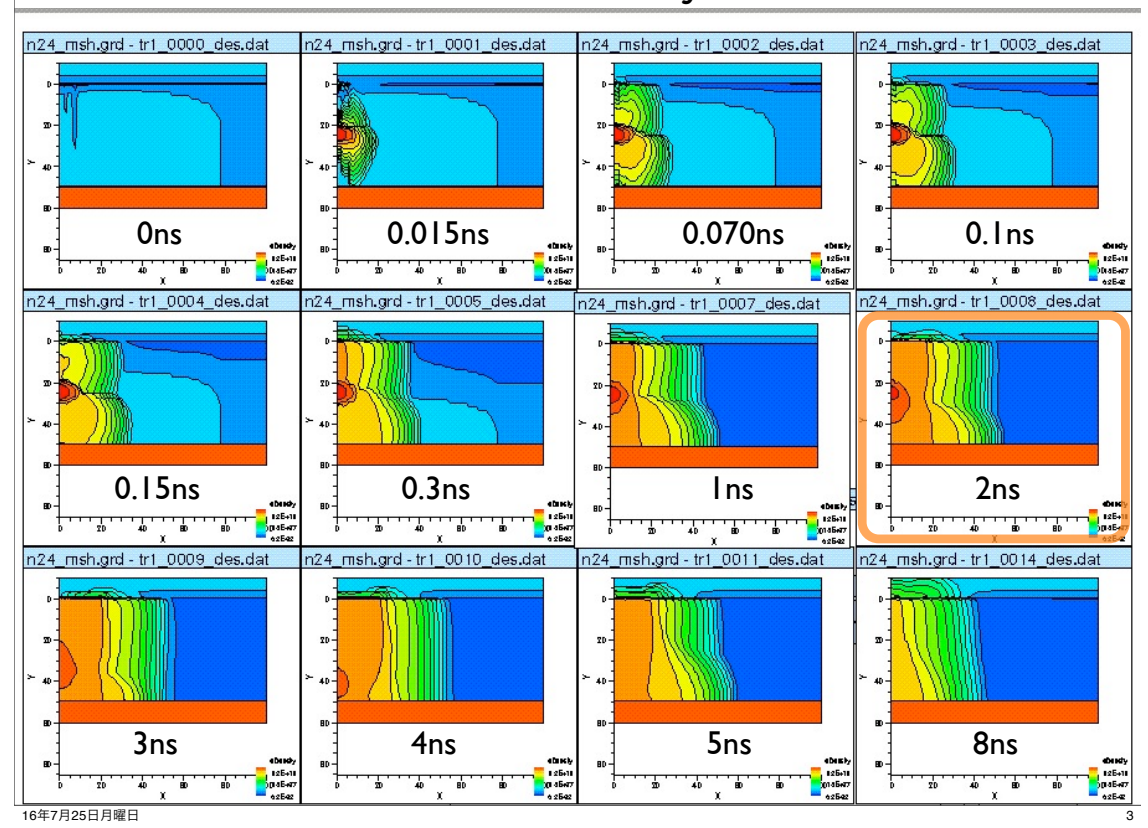


- with New Recombination model -



16年7月25日月曜日

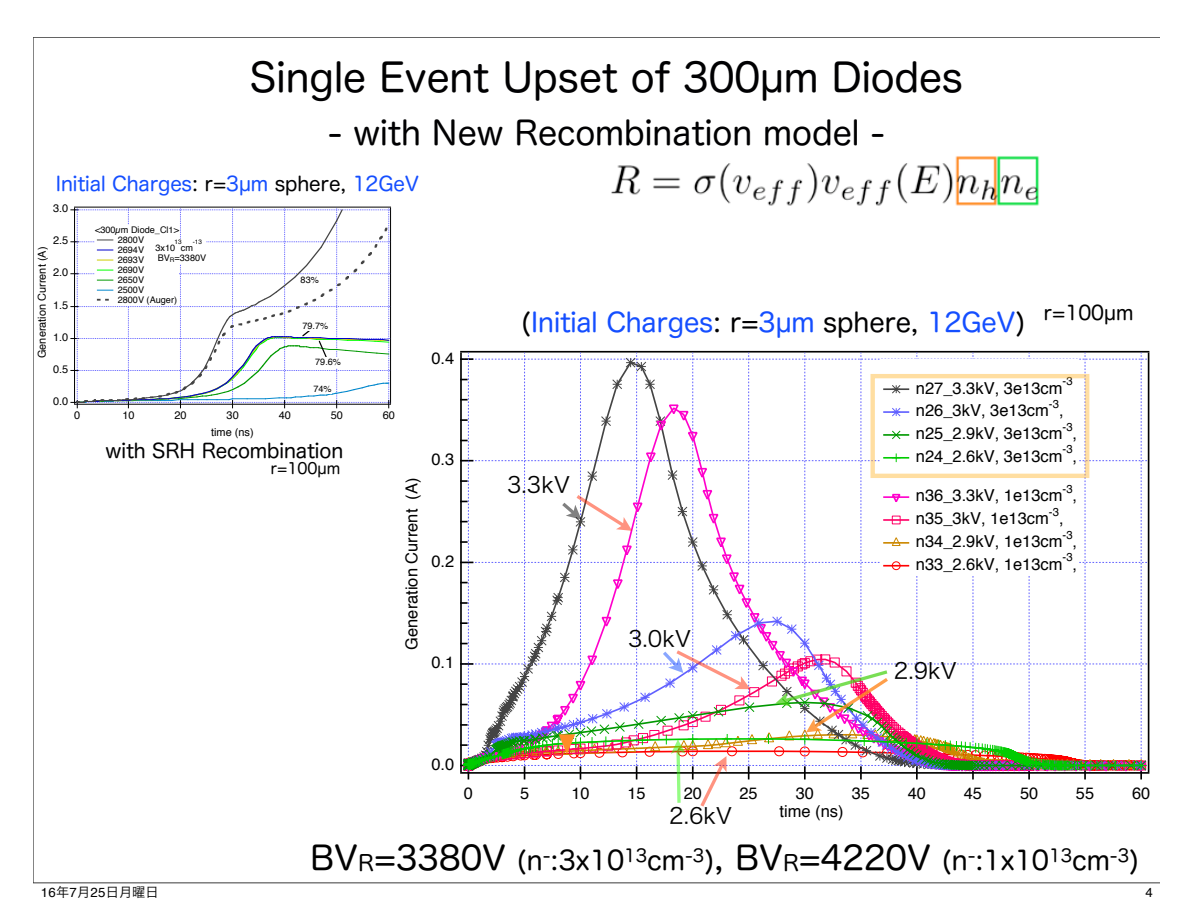
(講義資料 2016 #13-p.2) :高田 (シミュレーションした円筒ダイオードの断面半径は $100\mu m$ ) 新しい再結合モデルを使うと、 $\approx 600V$ ダイオードでも発生電流は継続しなくなった。 n-領域の不純物濃度を1桁変えてもほとんど変化しない。



(講義資料 2016 #13-p.3):高田

600V円筒ダイオード(断面半径は $100\mu m$ )の中心線から外周までの断面の自由電子密度 $n_e$ 分布の時間変化。

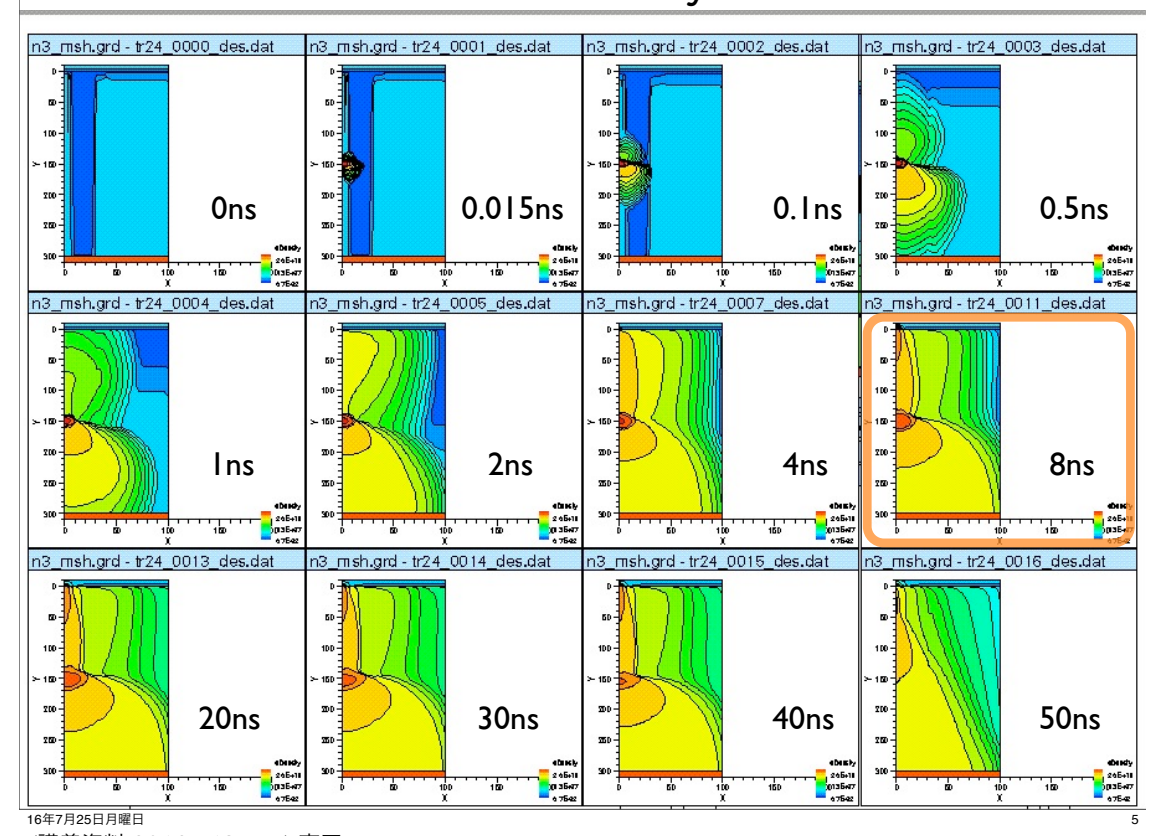
新しい再結合モデルを使っている。



(講義資料 2016 #13-p.4):高田 (Simulationした円筒ダイオードの断面半径は $100\mu m$ である) 新しい再結合モデルを使うと、 $\approx 3000 V$ ダイオードでも発生電流は継続しない。 比抵抗による差は !!?

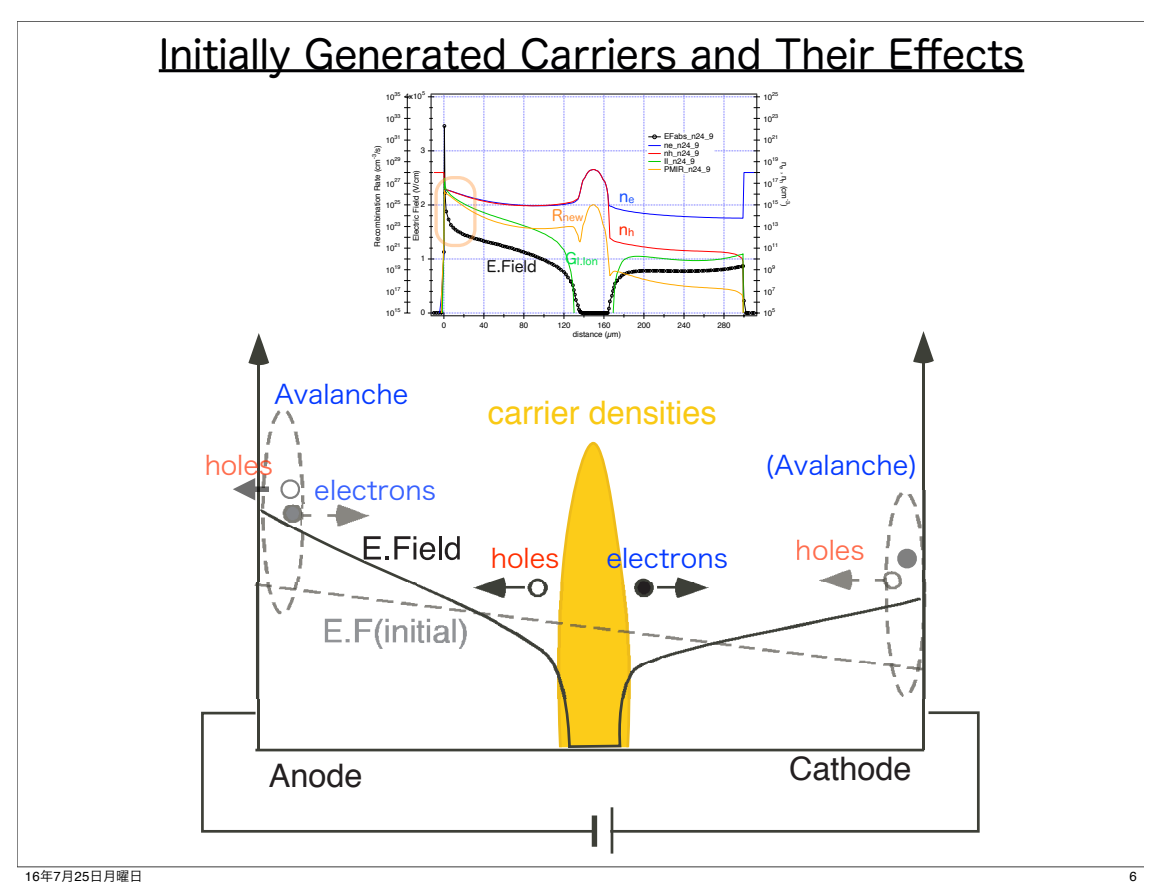
## **Electron Density**

(2600V, 300µm, 3x10<sup>13</sup>cm<sup>-3</sup>)



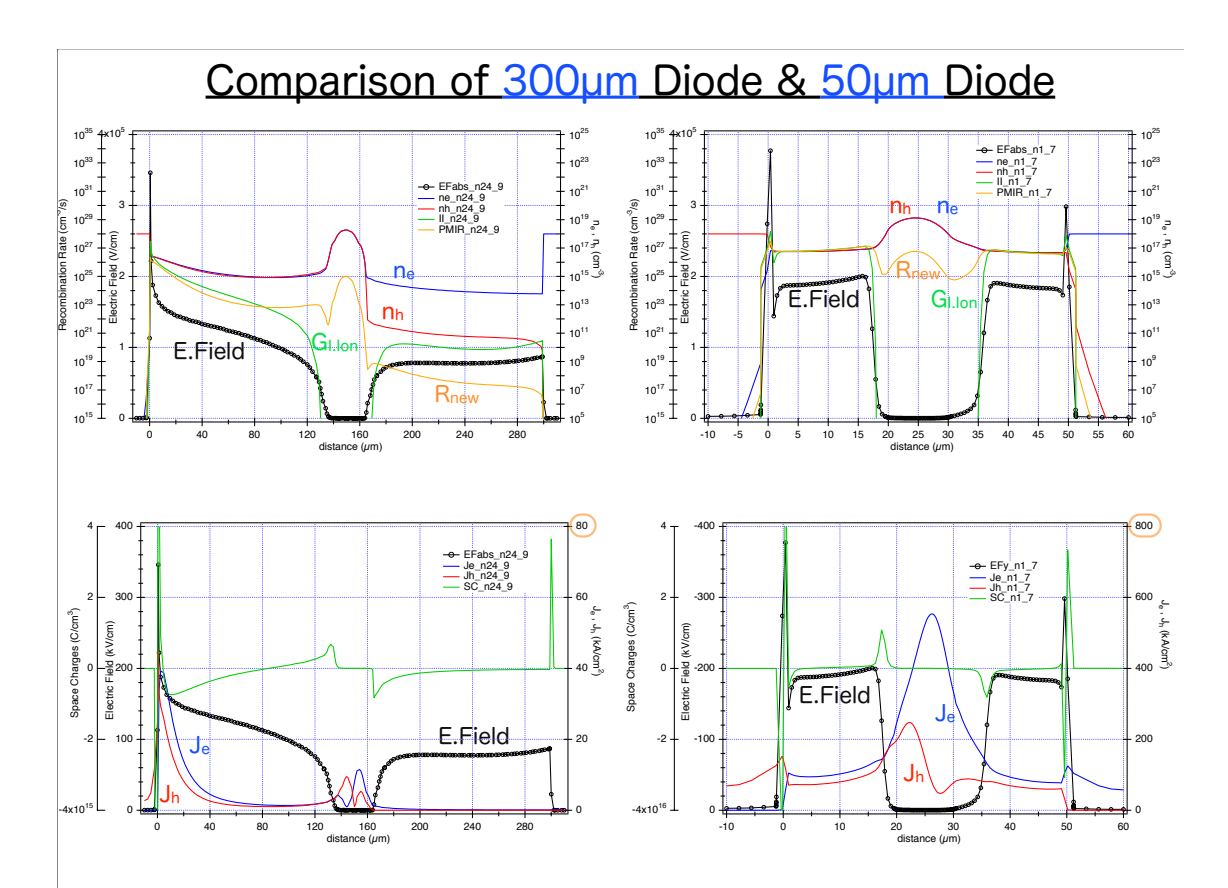
(講義資料 2016 #13-p.5):高田

前の図で、青い矢印で示した条件。



(講義資料 2016 #13-p.6):高田

中央は、高エネルギー粒子停止によって発生した電荷 $(n_h \approx n_e)$ が拡散した領域。 高密度キャリア存在部の電界強度は~0となり、移動する電荷に応じて傾きも変わる。



16年7月25日月曜日

(講義資料 2016 #13-p.7):高田 12GeV粒子がダイオード中央で停止,

6ns(300µm Di: 2.6kV, 3x10<sup>13</sup>cm<sup>-3</sup>)と1ns(50µm Di: 650V, 1x10<sup>14</sup>cm<sup>-3</sup>)の内部分布。

50μm Diでは、正孔と自由電子の密度が高く、均一な領域が広がっている。

そこは安定な状態。なぜならば、発生速度 = 消滅速度。

## 結論 (宇宙線破壊)

- ②従来のシミュレーションは深刻な矛盾をもたらす. 根本的な再考察が必要!
- ジキャリアの基本反応 (正孔 ↔ 自由電子)の見直し言わば- 固体中の化学反応 -
- 寧新しい再結合機構は包括的な解決をもたらす.

それは衝突電離作用の逆過程である.

 $R_d = \sigma V_{eff} n_h n_e$ 

G<sub>II</sub>≈α<sub>e</sub>v<sub>s</sub>n<sub>e</sub>,

αe∝ nh\*

- <sup>❷短いn-ダイオードは平衡状態によって安定足り得る.</sup>
- ②(長いn⁻ダイオードの破壊は局所アバランシェで起こる)

  破壊は数nsで始まる。

16年7月25日月曜日

8